

II-216 混合砂れきの流送における非平衡性と armoring の伝播過程

京都大学大学院 学生員 原 稔明
 京都大学大学院 学生員 辻本 哲郎
 京都大学工学部 正員 中川 博次

1. まえがき 掃流砂れきの流送過程において特徴的な事は運動が確率的であること、何らかの条件で非平衡性が出現することであり、こうした事実に着目して研究が重要であると考える。本報は、とくに非平衡性が顕著に出現する混合砂れきの流送過程をとりあげ、これを掃流砂に対する stochastic model を用いて論じ、非平衡現象の結果としての armoring の伝播特性について、数値モデルを例に挙げて検討考察したものである。

2. Armor coat の伝播過程のモデル化 本報では、Gauder¹⁾の定義する parallel degradation の場合について論じる。

図-1に示すように混合砂れきからなる移動床部を K 個の長さ Δx の区间に分割し、距離変数を離散量として扱う。この場合、第 i 区間は $(i-1)\Delta x \leq x < i\Delta x$ の領域を表す。ここで、長さ方向の刻み幅 Δx は最小粒径の砂の平均 step length より充分短く、河床材料の最大粒径よりは充分長くとることが必要である。また、 $x=K\Delta x$ の位置に採砂箱が設置され、ここで流砂量が測定できるものと想定する。さて、時刻 t における第 i 区間でのオイクラスの粒度の砂の水路単位幅あたりの表面露出個数を $n_{ik}(t)$ とすると、その区间での個数分布 $\hat{p}_{ik}(t)$ 、粒度分布 $p_{ik}(t)$ 、平均粒径 $d_{ik}(t)$ はそれぞれ次式で与えられる。 $\hat{p}_{ik}(t) = n_{ik}(t) / \sum_{j=1}^N n_{jk}(t)$ (1) $p_{ik}(t) = \hat{p}_{ik}(t) d_j^2 / \sum_{j=1}^N \{\hat{p}_{ik}(t) d_j^2\}$ (2) $d_{ik}(t) = \sum_{j=1}^N d_j \hat{p}_{jk}(t)$ (3) ところで、時刻 t から微小時間 dt の間に第 i 区間から離脱するオイクラスの砂粒個数 $\Delta M_{ik}(t)$ 、またこの区间に落下するオイクラスの砂粒個数 $\Delta Q_{ik}(t)$ はそれぞれ次のように表わすことができる。

$$\Delta M_{ik}(t) = n_{ik}(t) p_{ik}(t) dt \quad (4) \quad \Delta Q_{ik}(t) = \sum_{k=1}^{i-1} \Delta M_{jk}(t) \mu_{i,k-l} \quad (5) \quad \text{ここで、} \mu_{i,k-l} \text{ は第 } i \text{ 区間での} \text{ オイクラスの砂粒の pick-up rate} \text{ であり、} \mu_{i,k-l} \text{ はオイクラスの砂粒の step length を } X_i \text{ とするととき、}$$

$\mu_{i,k-l} = \text{prob.}[(k-l)\Delta x \leq X_i < (k-l+1)\Delta x] \quad (6)$ を表し、これは parallel degradation の場合、場所的、時間的に変化しないものと仮定しよう。 p_{ik} の時間的、場所的変化もこの場合は床面の粒度構成の変化によるもので、平均水理量は変化しないものと仮定されている。さて、上述のような砂粒の離脱・落下が起きることによって床面部の幾つかが新規に露出し、この部分の粒度構成が初期条件 p_{ik0} に等しいものと見せることから、時刻 $(t+dt)$ での第 i 区間のオイクラスの砂粒の表面露出個数は、次のようになる。

$$n_{ik}(t+dt) = n_{ik}(t) - \Delta M_{ik}(t) + \Delta Q_{ik}(t) + \frac{p_{ik0}}{dt} \sum_{j=1}^N \left[\{\Delta M_{jk}(t) - \Delta Q_{jk}(t)\} d_j^2 \right] \quad (7)$$

これより $dt \rightarrow 0$ として $n_{ik}(t)$ に関する微分方程式が導かれ、これは次式で表わすことができる。

$$\dot{n}_{ik}(t) = \sum_{j=1}^N \left[\left(\frac{p_{ik0}}{dt} d_j^2 - \delta_{ij} \right) \sum_{k=1}^{i-1} \{\tilde{M}_{jk,l} p_{jk}(t) n_{jk}(t)\} \right] \quad (8) \quad \text{ただし、} \tilde{M}_{j,k-l} = \begin{cases} \mu_{i,k-l} & (l < k) \\ -1 & (l=k) \\ 0 & (l > k) \end{cases} \quad (9)$$

である、 δ_{ij} は Kronecker's delta である。次に、 K 区間の直下流に想定設置された採砂箱に収集される流砂量について検討する。時刻 t から微小時間 dt の間に採砂箱に収集される第 i クラスの砂粒個数のうち第 k 区間からのものは、1 step の運動時間が無視されるとして、 $\Delta M_{ik}(t) \sum_{s=k-K}^{K-1} \mu_{i,s}$ で与えられる。

したがって、この間に収集されるオイクラスの總砂粒個数は、 $\Delta \bar{Q}_i(t) = \sum_{k=1}^K n_{ik}(t) p_{ik}(t) \sum_{s=k-K}^{K-1} \mu_{i,s} dt$ (10) となり、これを流砂量（単位時間当たりの実質体積）として表示すると、

$$q_{ik}(t) = \sum_{k=1}^K \{n_{ik}(t) p_{ik}(t) \sum_{s=k-K}^{K-1} \mu_{i,s}\} \cdot \frac{1}{6} d_i^3 \quad (11) \quad \text{となる。これは、混合砂れきに対する粒径別非平衡流砂量式で、一般に時間 } t, \text{ 流砂量測定区间 } (K\Delta x) \text{ の関数となる。}$$

3. 混合砂れきの流送特性と Armoring の伝播特性 これまで述べたように、混合砂れきの粒径別 pick-up rate, step length およびその分布を知れば、非平衡性に留意しながら混合砂れきの流送過程および armoring

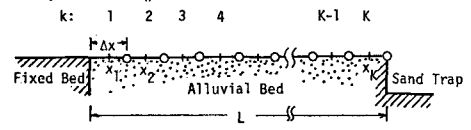


図-1 記号図

の伝播過程が説明できる。しかし混合砂の運動機構についての知見はきわめて乏しく、その詳細は今後の研究に委ねるとして、ここでは従来の研究成果をもとに、水理量および粒度構成とこれらの運動特性量との間の基本的関係を推定し、粒のモデルに基づいた数値計算例を検討することにする。まず、pick-up rateについては、均一砂について著者らが先に導いた式は、次式によく近似することができる。

$$P_{s*} = P_{s*} \sqrt{d/(U_0 t - U_0)} = F_0 C_{*i} \left(1 - \frac{C_{*i}}{C_{*c}} \right)^2 U \left(U_0 t - U_0 \right) \quad (12)$$

ここで、 U は unit step 関数であり、 t は砂粒の移動限界までの無次元せん断応力である。混合砂中の場合最も影響されるのは C_{*i} で、これは粒径ごとの露出高さの違いを考慮し、粒径別で与えた局所流速の代表高さを粒径に比例させた Egiazaroff の考え方を用いて許されよう。これより、

$$C_{*ci} = C_{*c} \left\{ \ln(30.1a) / \ln(30.15i) \right\} \quad (13) \quad P_{s*} = F_0 C_{*i} \left(1 - \frac{C_{*i}}{C_{*c}} \right)^2 U \left(U_0 t - U_0 \right) \quad (14)$$

で粒径別 pick-up rate を求めるところにする。なお、 a は代表流速の作用高さを d で無次元化したとき Egiazaroff の結果より 0.63 とした。また $i = d/dm$ である。式(14)によると粒径別 pick-up rate と実験値を比較したのが図-2で、これはより P_{s*} の概略値は推定される。

一方、step length については殆んど明らかにされていないが、これは主に石の表面との摩擦に固体していると考えられるから。均一砂の場合と同様で、大きさ一定範囲で粒径に比例しているとの仮定をしよう。これについては今後トレーサー実験等で検討する必要がある。以上のように運動特性量を推定し、これを展開してモデルに基づいて数値計算を行った例を示す(图-3は $u_0 = 6.0 \text{ cm/sec}$ の場合)。图-3は固定床にすぐ接続する場所での

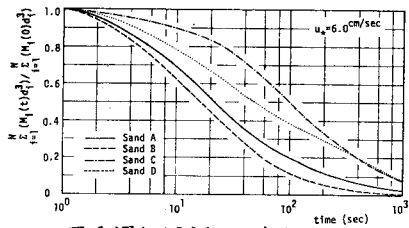


図-4 混合砂底部からの流出砂量

これらにより、混合砂の流送での非平衡性がよりよく理解できる。

4.あとがき 今後混合砂の運動機構を明確にするためトレーザー実験等を行ない、モデルを改良とともに、armoring の水路実験を行ってモデルを検証する予定である。

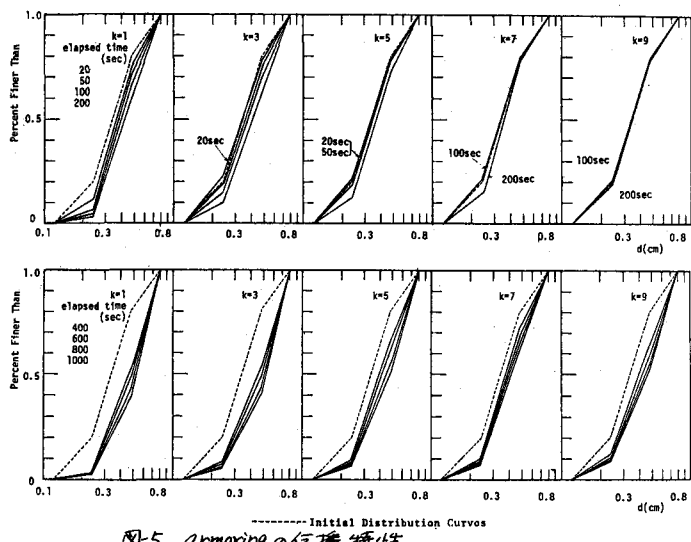


図-5 armoring の伝播特性

-----Initial Distribution Curves

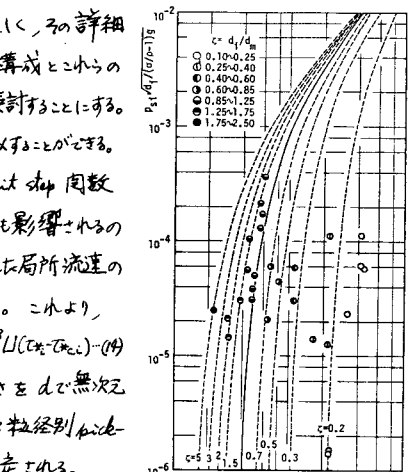


図-2 粒径別 pick-up rate

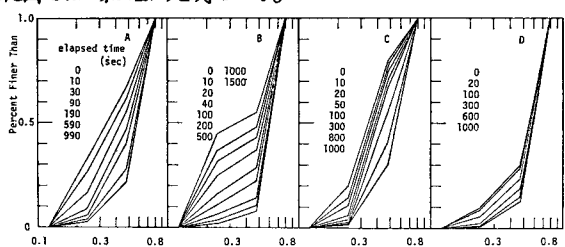


図-3 粒径化過程の粒度分布に対する比較

その部分から離脱する砂量の時間的変化を示したものである。また図5は armoring の伝播特性を示したものであり、各場所の平均粒径の時間的変化は図6に示してある。

また図7は水路端での粒径別流量、統一流砂量の時間的変化を示したものである。

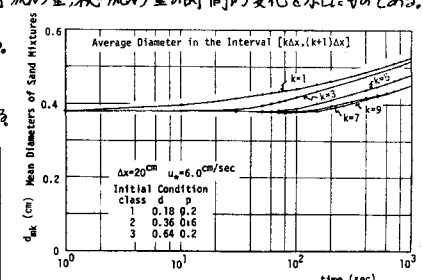


図-6 平均粒径の時間的変化

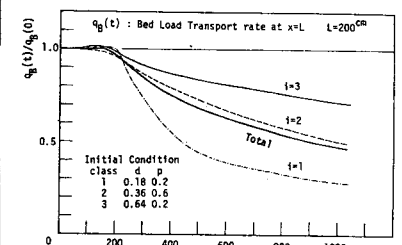


図-7 流砂量の時間的変化

<参考文献> ① Gessler : Proc. ASCE, WW, 1970.
② 日本土木学会土木年報文部編集会, 1975.
③ Egiazaroff : Proc. ASCE, HY, 1965. ④ 土木・京大防砂研究会報, 1969.
⑤ 国連上: 土木年報文部編集会, 1972.